

## Kap. 2 Graphen

### Kap. 2.1 Netze

**Beispiele:** MVV, Autobahnen, WIN, E/R, LH-Flüge, Stützgraphen, Petri-Netze, SIPs, ISA-Hierarchien, Operator-Graphen, Wartegraphen für DB-Transaktionen

**Abstraktion von Netz = Graph**

- Knoten:  $k_1, k_2, \dots, k_i, \dots, k_n$
- Kanten zwischen je 2 Knoten  
Edge  $e = (k_1, k_2) \in E$  : binäre Relation



1

### Varianten von Netzen und Graphen (Komplikationen)

**1. Richtung:** gerichtete bzw. ungerichtete Kanten



**Fall 1:** — Kurzschreibweise für  $\longleftrightarrow$   
d.h. E ist symmetrisch:

$(k_1, k_2) \in E \quad (k_2, k_1) \in E$  (implizit)

**Fall 2:** — ist ungerichtete Kante

—  
 $(k_1, k_2)$

d.h. E ist symmetrisch mit zusätzlicher  
Äquivalenzrel.  $\equiv_s : (k_1, k_2) \equiv_s (k_2, k_1)$ ,  
Kanten sind  $E / \equiv_s = \bar{E}$

2

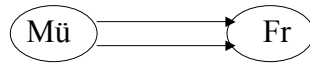
## 2. Bewertung von Kanten

für gerichtete und ungerichtete Kanten, z.B.:

- Transportkapazität: Baud, m<sup>3</sup>/s
- Länge
- Geschwindigkeit
- Reisezeit
- Mautkosten, Flugkosten, Fahrkartenpreis
- allg. Prädikate und Strukturen

## 3. Multikanten:


z.B. Flüge, Züge mit mehrfachen Markierungen,  
i.a. beliebig komplexe Zusatzinfo:



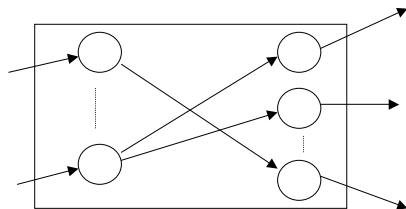
Flugges.	Flug#	Abfl.	Gate	Ank.	Masch.	Kap.
LH	451	7:45	A3	8:30	A310	240
LH	461	8:45	A4	9:30	737	130

3

## 4. Markierung von Knoten

 Umsteigezeit: national 45 min.  
international 70 min.

## 5. Hypernetze



z.B. zur Repräsentation von Verbindungsbedingungen für  
Wegekonstruktion, Komposition von Petri-Netzen

4

## Kap. 2.2 Repräsentation von Graphen

1. **Zeichnung, Bild:** siehe Beispiele

2. **Adjazenz matrix:**

für spezielle Probleme bei gerichteten und ungerichteten Graphen, z.B.:

- Stützgraph:           Zyklenfreiheit (Warshall)
- Komm. Netz:         Erreichbarkeit
- Verkehrsnetze:     kürzeste Wege

Knotennamen: 1, 2, ..., n oder Hilfsstruktur

Boolsche Edge-Matrix EM [1:n, 1:n]

$EM[i,j] = \text{true} \Leftrightarrow e = (k_i, k_j) \in E$

5

### Algorithmen:

Varianten der Matrixmultiplikation, z.B.

Erreichbarkeit:  $k_i \rightarrow k_j \rightarrow k_l$

$$WM_2[i,l] := EM[i,l] \vee \bigvee_{j=1}^n EM[i,j] \wedge EM[j,l]$$

Struktur wie  $\bigvee_{j=1}^n EM[i,j] * EM[j,l]$

### Wegematrix $WM_1$

für Wege der Länge  $\leq 1$ :

$$WM_2 := EM + EM^2$$

$$WM_4 := WM_2 + WM_2^2$$

$$WM_{2^i} := WM_{2^{i-1}} + WM_{2^{i-1}}^2$$

6

Wege sind höchstens von Länge  $n$ , d.h.  
 $\log_2 n$  Matrix-Multiplikationen der Komplexität  $n^3$  für  $n$  Knoten.

**Zeitkomplexität:**  $O(n^3 \log n)$

Laufzeit für  $n = 10^6$  (Internet)?

Optimierung:

$WM_2[i,l] := \text{if } EM[i,l] \text{ then true}$

**else**  $\bigvee_{j=1}^n EM[i, j] \wedge EM[j, l]$

**Platzkomplexität:**  $O(n^2)$

für  $n = 10^6$  125 GB

7

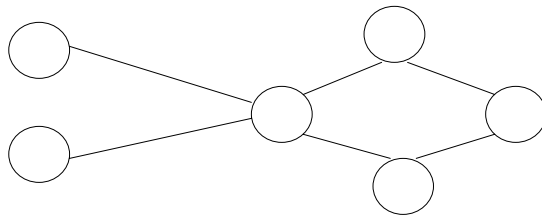
### 3. Knoten- und Kantenmengen:

Knoten =  $(k_i, \text{Knoteninfo})$  oder  
 $(i, \text{Knoteninfo})$   
mit Zugriffsstruktur über  $k_i$

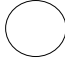
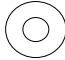
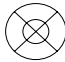
Kante =  $(e_j, k_{j_1}, k_{j_2}, \text{Kanteninfo})$   
mit Zugriffsstruktur über  $(e_i, k_{j_1}, k_{j_2})$

### 4. Hybride Repr. nach Bedarf

z.B. für Spannbaum-Berechnung



8

Knotenzustände:		unbearbeitet	~ 0
		erreicht	~ 1
		bearbeitet	~ 2

mit charakteristischen Funktionen, Mengen, Listen, etc.

**Notation:**  $K_u$  : unbearbeitete Knoten  
 $K_e$  : erreichte Knoten  
 $K_b$  : bearbeitete Knoten

9

**Alg. für Spannbaum: mit Knotenmenge  $K$**   
 {alle Knoten unbearbeitet}

```

 $K_u := K;$             $K_e := K_b := \emptyset$ 
select  $k \in K_u;$     $K_u := K_u \setminus \{k\};$ 
 $K_e := K_e \cup \{k\};$   {k ist erreicht}
while  $K_e \neq \emptyset$  do
  select  $k \in K_e;$     $K_e := K_e \setminus \{k\};$ 
   $K_b := K_b \cup \{k\};$   {k ist bearbeitet}
  verfolge alle Kanten e von K aus:
  if Endknoten  $k'$  von e  $\in K_u$ 
    then begin    $K_u := K_u \setminus \{k'\};$ 
                   $K_e := K_e \cup \{k'\};$ 
                  e zu Spannbaum
    end
end
od.
```

10

**Operationen:**

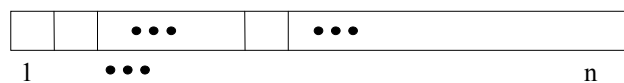
auf  $K_e$  :            **select, delete, insert**  
auf  $K_u$  :            **select, delete, find**  
auf  $K_b$  :            **insert**  
auf Kantenmenge:    **find**  $e_j$  mit  $k_j$ , geg.  
                          **delete**  $e_j$  oder bearbeite jede Kante zweimal

11

**Variante 4.1:** Charakteristische Funktion

für  $K_u, K_e, K_b$

Knotenfeld für Zustände 0, 1, 2:



Analyse: **while** n-mal durchlaufen

**select**  $k \in K_e$  ist  $O(n)$

Alg. mindestens von  $O(n^2)$

12

**Variante 4.2:** Wie 4.1, aber zusätzlich

Liste für  $K_e$ :

**select**  $k \in K_e$  ist jetzt  $O(1)$

Komplexität dominiert durch

Kantenverarbeitung, z.B.

pro Knoten eigene Kantenliste

- Sortierung der Kantenmenge oder
  - Zugriffsstrukturen für Kantenmenge für **find**
- $O(m \log m)$  bei  $m$  Kanten

13

**Variante 4.3:**  $K_u$  als Baum, z.B. AVL;

$K_e$  als Liste

Knotenbearbeitung:  $O(n \log n)$

Kantenbearbeitung: wie 4.2

**Lemma:** Spannbaum hat  $n-1$  Kanten

**Bew:** Übung

**Offenes Problem** in Alg.:

Darstellung des Spannbaumes;  
hier nur als Kantenmenge

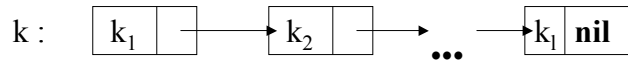
14

### Platzkomplexität: bei Varianten

3 und 4 dominiert durch Kantenzahl, praktisch  $O(n)$

z.B. Kanten als Listen von Folgeknoten:

Für jeden Knoten  $k$ :



Falls  $(k, k_1), (k, k_2), \dots, (k, k_e) \in E$

i.e. Zeilenrepr. in dünn besetzter Adj. Matrix. Erforderliche Listenoperationen?

Speicherbedarf bei  $d$  Kanten pro Knoten:  $n \cdot d \cdot 8$  Bytes

für  $n = 10^6, d = 3$  : 24 MB

Vergleich zu Adjazenzmatrix:

$$\frac{125 \text{ GB}}{24 \text{ MB}} \approx 5000 \text{ Verbesserungsfaktor}$$

15

### Ausgesparte Probleme:

- Flüsse
- Wegesuche
- Planarität
- Färbung



Siehe Spezialvorlesung  
Optimierung  
Graphentheorie

16